

ПРИЛОЖЕНИЕ

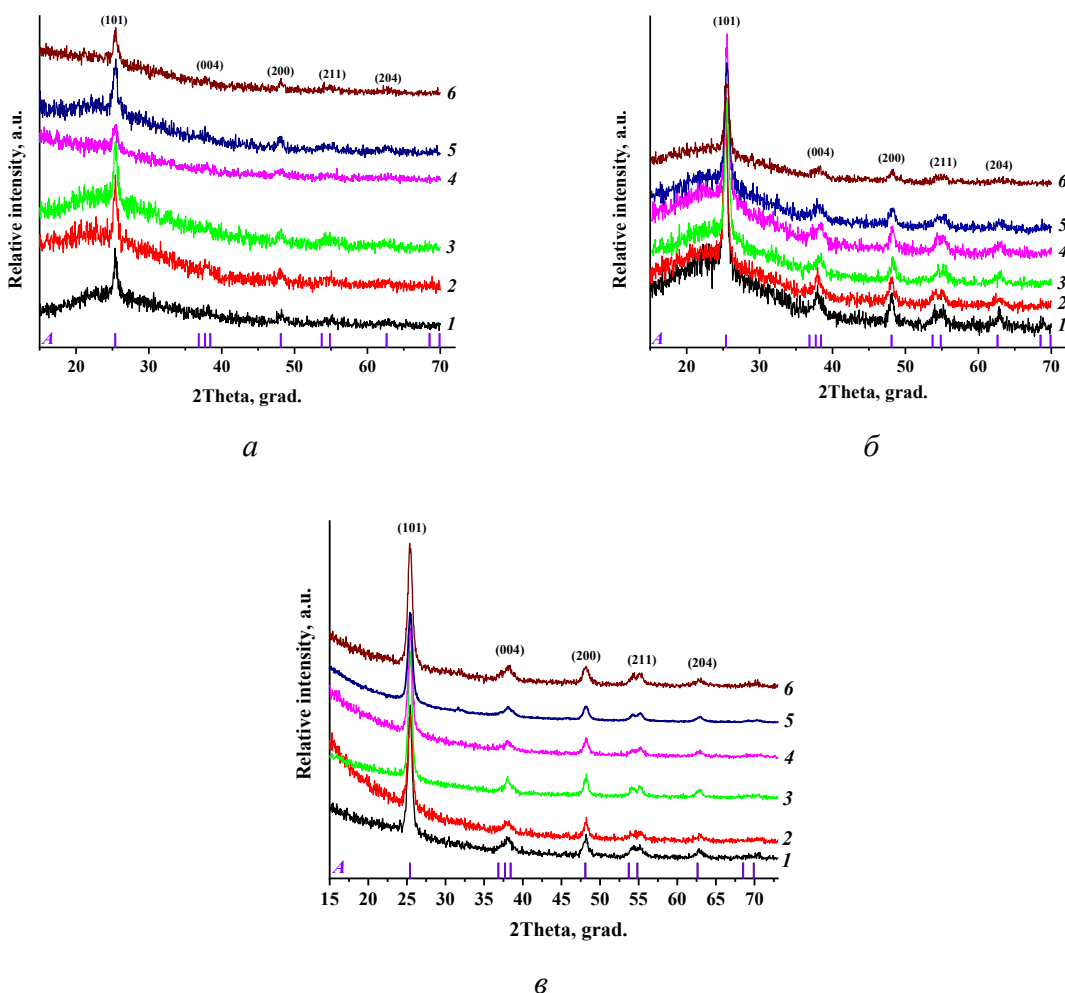
ФОТОИНДУЦИРОВАННАЯ СУПЕРГИДРОФИЛЬНОСТЬ ДИОКСИДА ТИТАНА: ВЛИЯНИЕ ГЕТЕРОВАЛЕНТНОГО ДОПИРОВАНИЯ МЕТАЛЛАМИ

© 2024 г. А. В. Рудакова¹ *, К. М. Буланин¹

¹ Санкт-Петербургский государственный университет,

ул. Ульяновская, 1, Петергоф, Санкт-Петербург, 198504 Россия

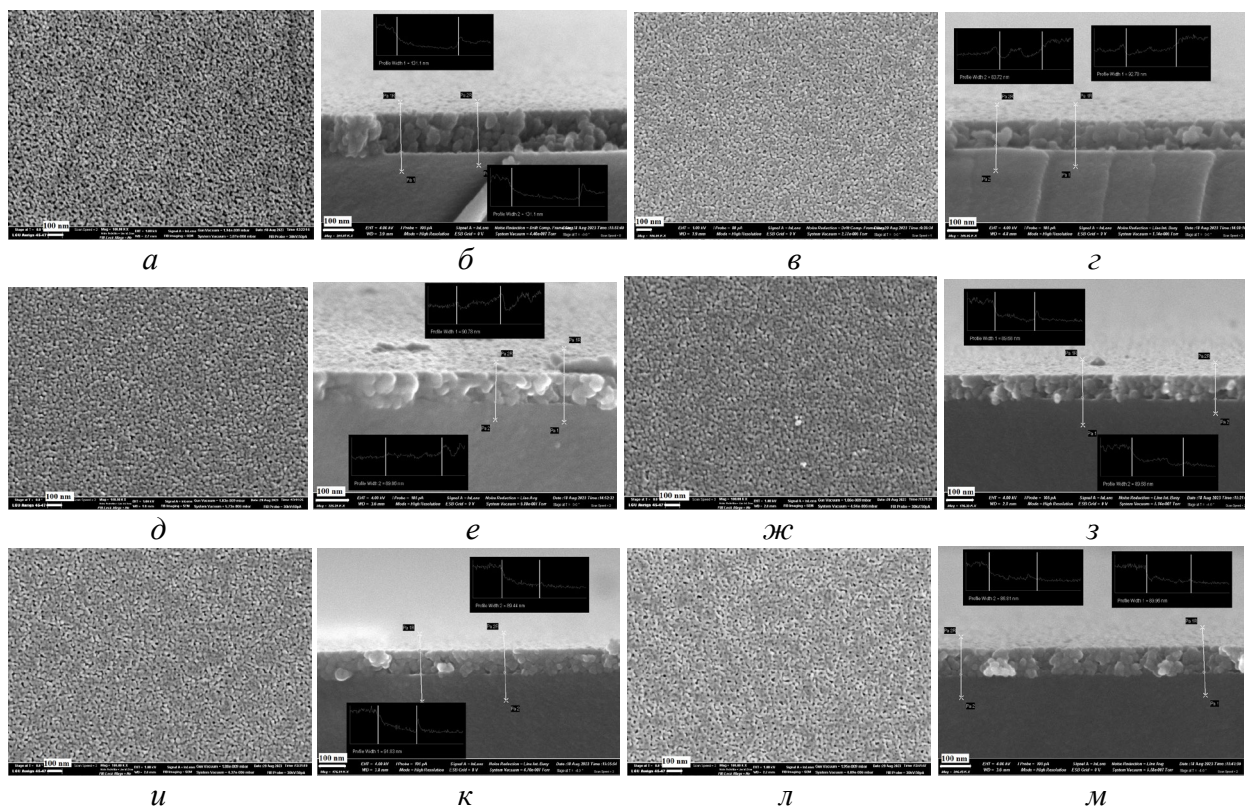
*e-mail: aida.rudakova@spbu.ru



20 **Таблица П1.** Среднее содержание допанта на поверхности пленки x-M-TiO₂, определен-
21 ное методом рентгеновской фотоэлектронной спектроскопии

Содержание допанта в объеме, x (ат.%)	Содержание допанта на поверхности, [M] (ат.%)		
	x-Nb-TiO ₂	x-Sc-TiO ₂	x-Al-TiO ₂
0.0	0.00 ± 0.00	0.00 ± 0.00	0.00 ± 0.00
0.2	0.21 ± 0.02	0.47 ± 0.04	1.79 ± 0.06
0.4	0.39 ± 0.02	0.55 ± 0.04	2.07 ± 0.06
0.6	0.51 ± 0.02	0.76 ± 0.06	2.22 ± 0.06
0.8	0.65 ± 0.04	0.99 ± 0.06	2.22 ± 0.08
1.0	0.83 ± 0.04	1.22 ± 0.06	2.40 ± 0.08

22
23
24
25



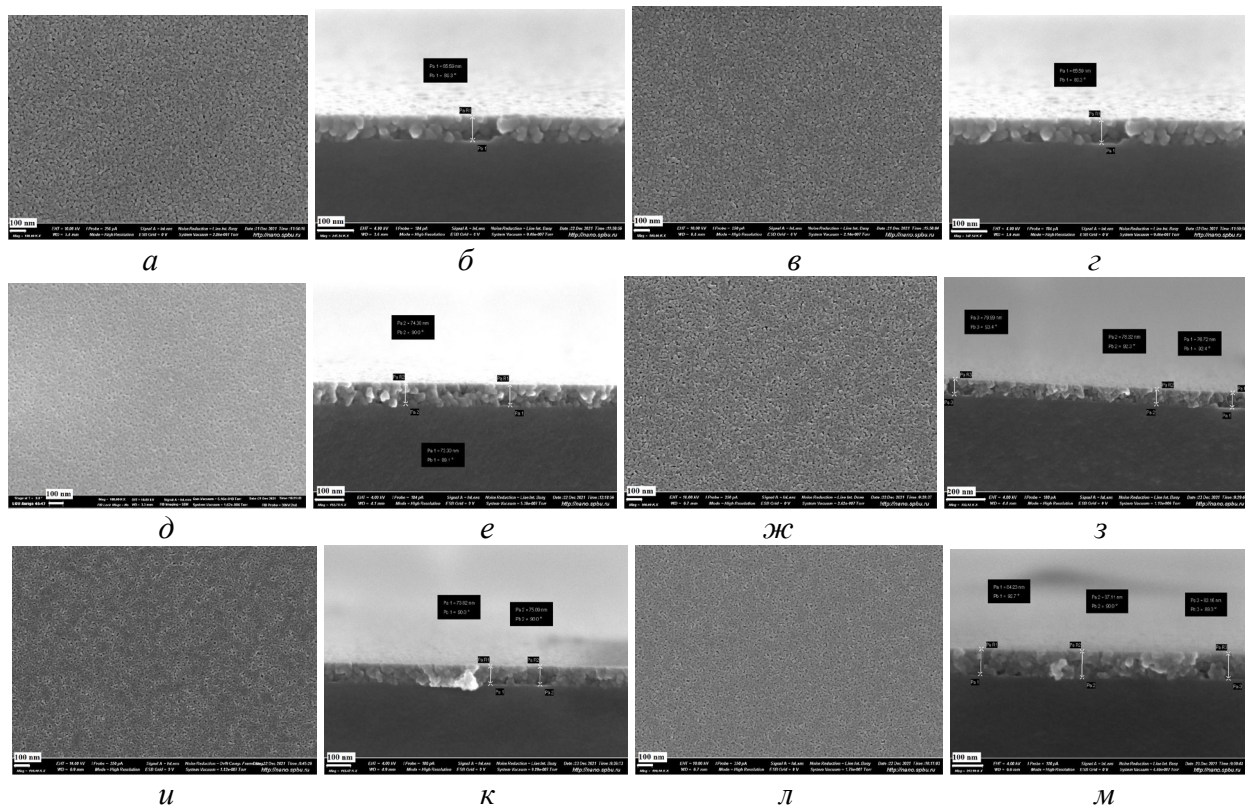
26
27

28
29
30
31
32
33
34
35

Рис. П2. СЭМ изображения поверхности (a, в, д, жс, и, л) и поперечного сечения (б, г, е, з,
3, к, м) покрытий x-Nb-TiO₂ на стеклянных подложках с различным содержанием допанта x:

0.0 ат.% (a, б), 0.2 ат.% (в, г), 0.4 ат.% (д, е), 0.6 ат.% (жс, з), 0.8 ат.% (и, к), 1.0 ат.% (л, м)

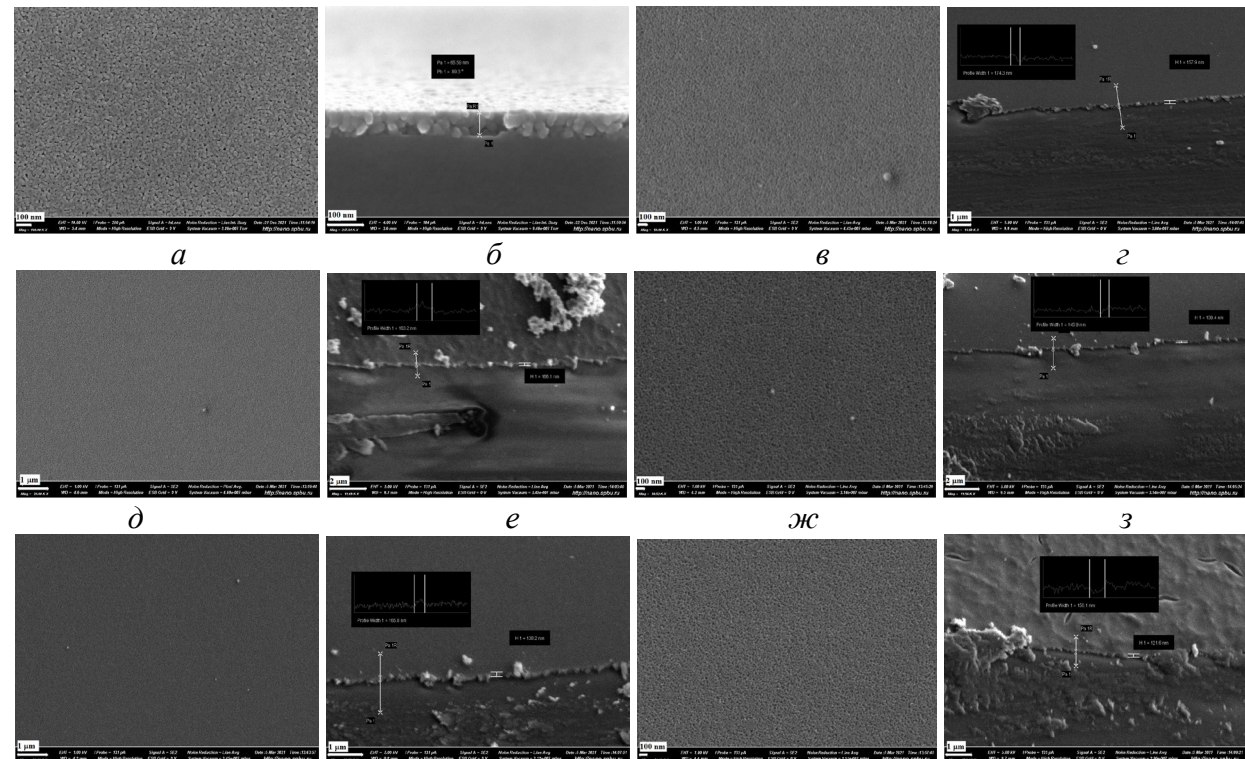
36
37



38
39
40
41
42
43
44
45

Рис. П3. СЭМ изображения поверхности (*a, в, д, жс, и, л*) и поперечного сечения (*б, з, е, з, к, м*) покрытий x-Sc-TiO₂ на стеклянных подложках с различным содержанием допанта x: 0.0 ат.% (*а, б*), 0.2 ат.% (*в, г*), 0.4 ат.% (*д, е*), 0.6 ат.% (*жс, з*), 0.8 ат.% (*и, к*), 1.0 ат.% (*л, м*)

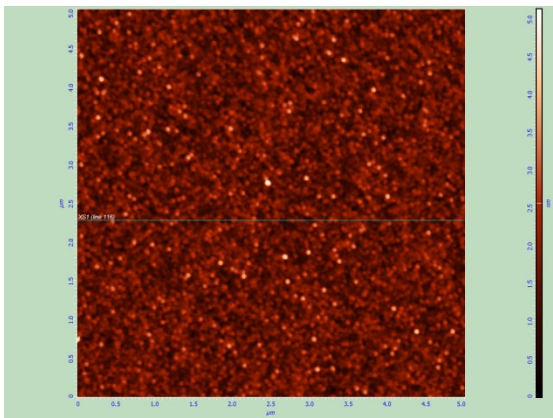
46
47



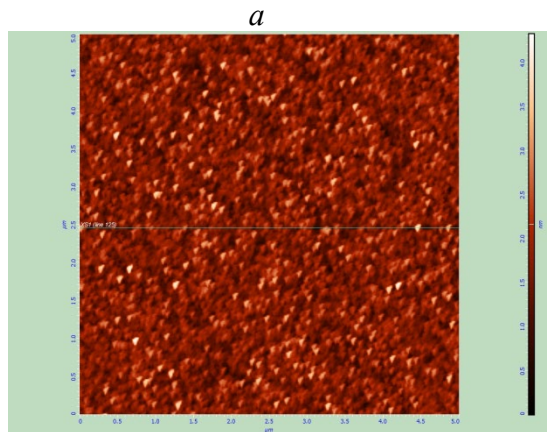
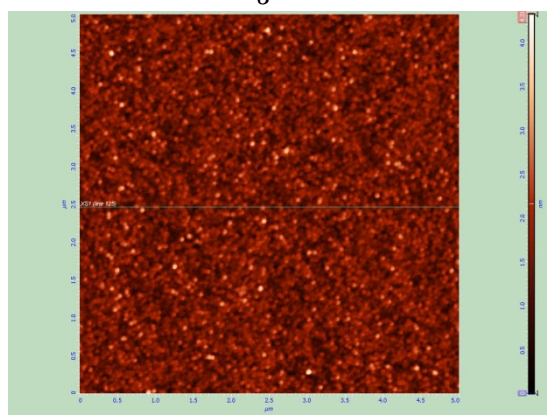
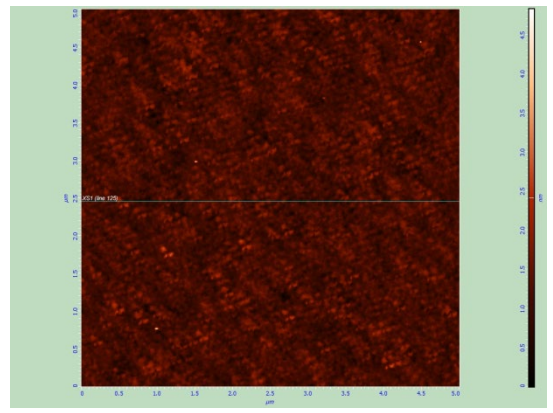
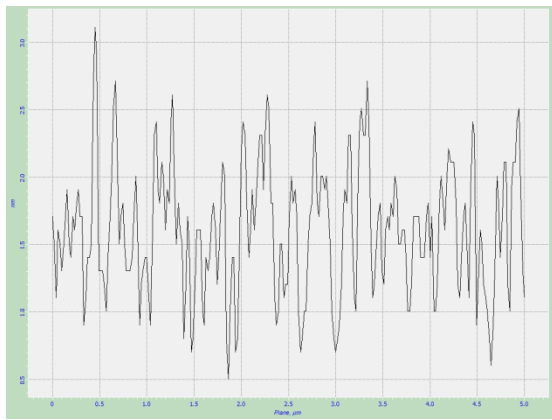
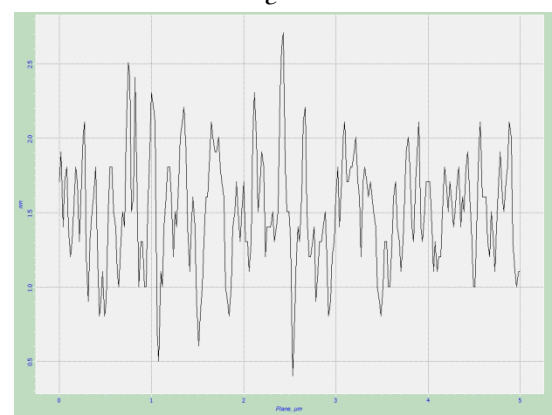
48
49
50
51
52
53
54
55

Рис. П4. СЭМ изображения поверхности (*а, в, д, жс, и, л*) и поперечного сечения (*б, з, е, з, к, м*) покрытий x-Al-TiO₂ на стеклянных подложках с различным содержанием допанта x: 0.0 ат.% (*а, б*), 0.2 ат.% (*в, г*), 0.4 ат.% (*д, е*), 0.6 ат.% (*жс, з*), 0.8 ат.% (*и, к*), 1.0 ат.% (*л, м*)

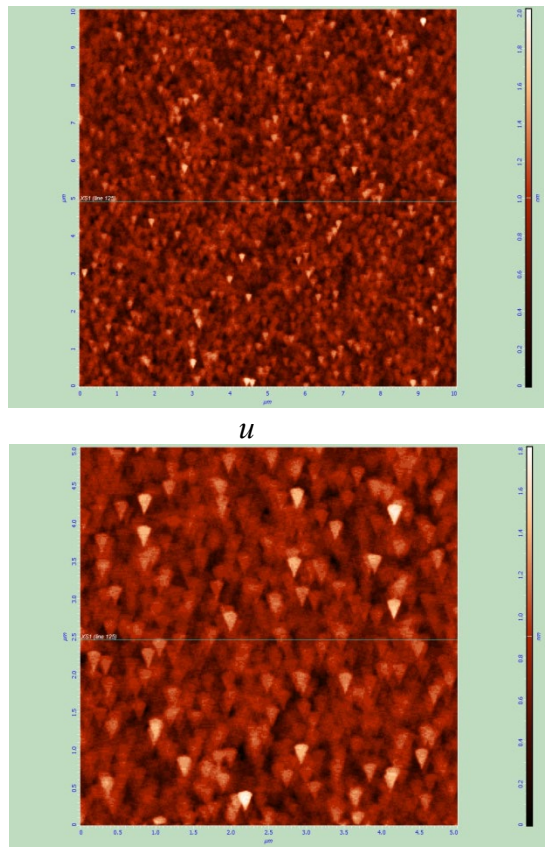
56



57

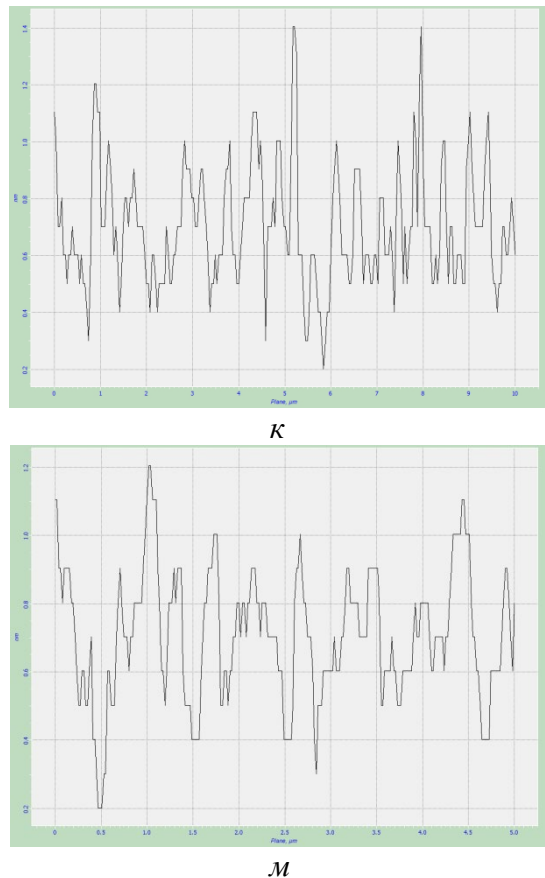
58
5960
6162
63*b**c**d**e*

64
65



66
67
68
69
70
71
72

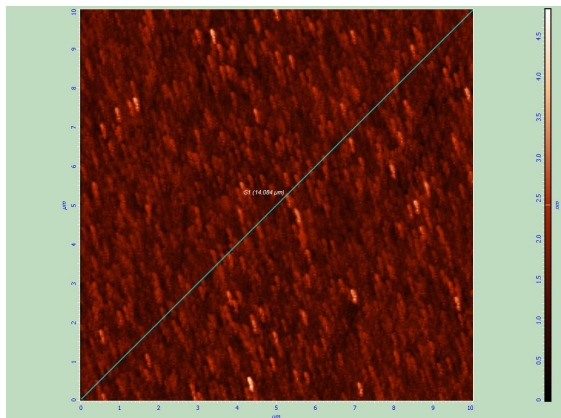
л



м

Рис. П5. АСМ изображения поверхности (*a*, *в*, *д*, *жс*, *и*, *л*) и профили (*б*, *г*, *е*, *з*, *к*, *м*) покрытий x-Nb-TiO₂ на стеклянных подложках с различным содержанием легирующих элементов: 0.0 ат.% (*a*, *б*), 0.2 ат.% (*в*, *г*), 0.4 ат.% (*д*, *е*), 0.6 ат.% (*жс*, *з*), 0.8 ат.% (*и*, *к*), 1.0 ат.% (*л*, *м*)

73
74

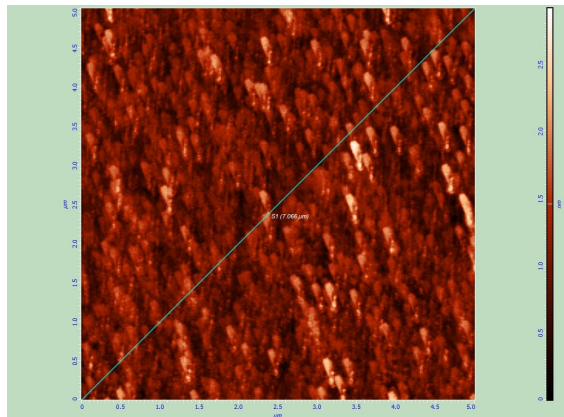


a



b

75
76



c



d

77
78

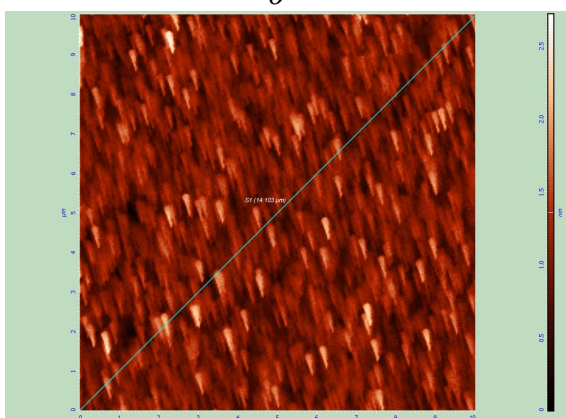


e



f

79
80



g



h

81
82
83
84
85
86

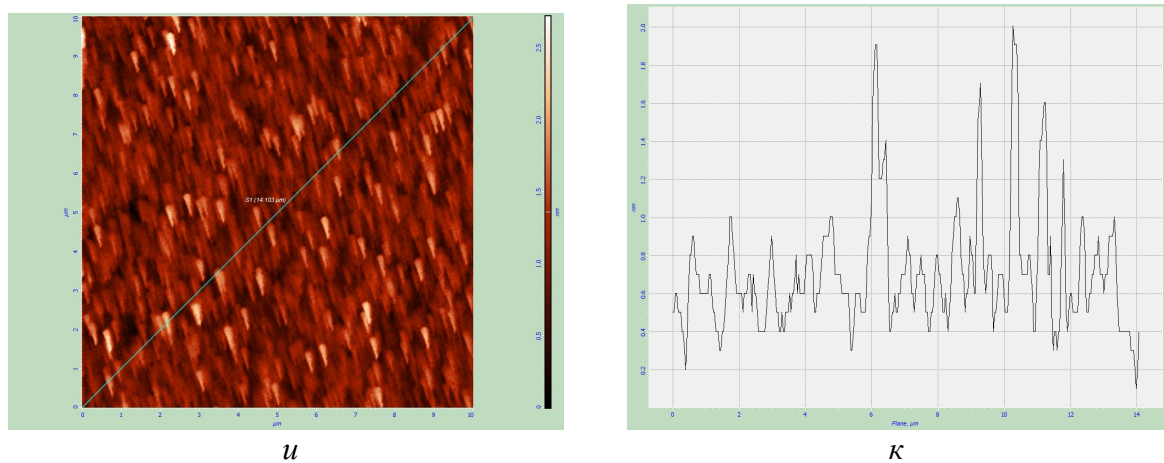
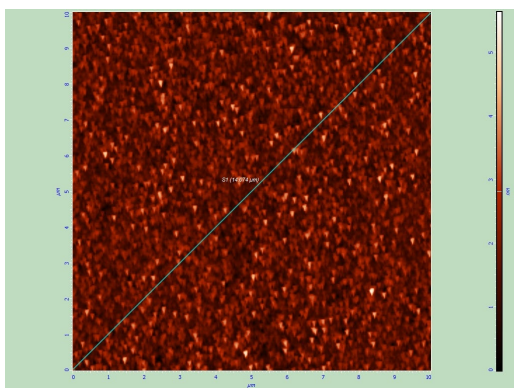
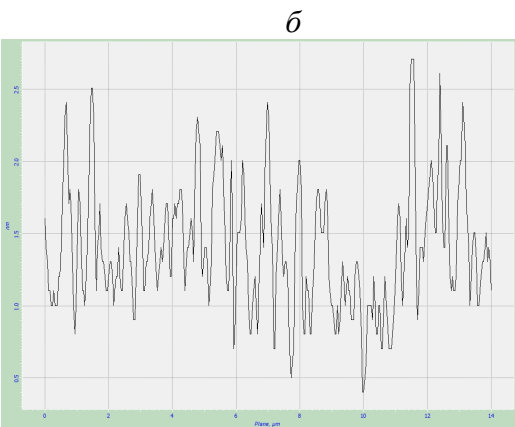
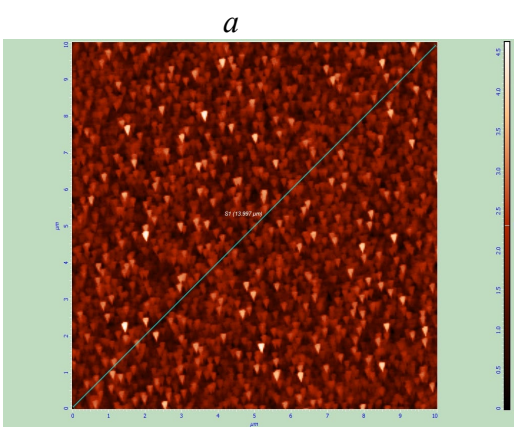
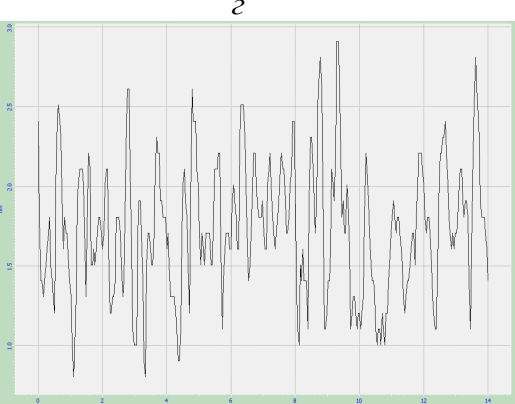
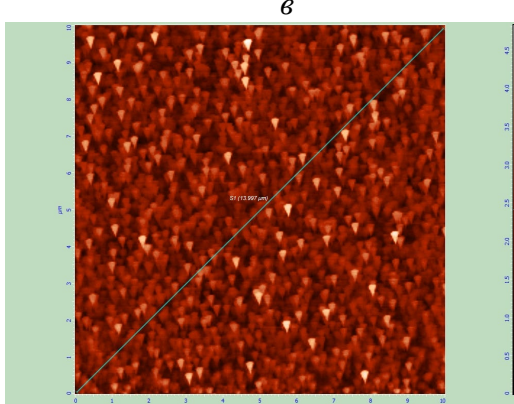
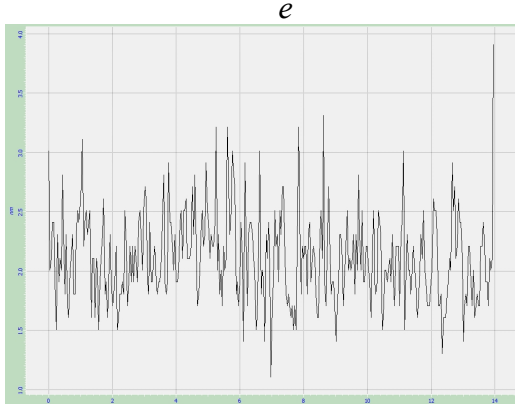
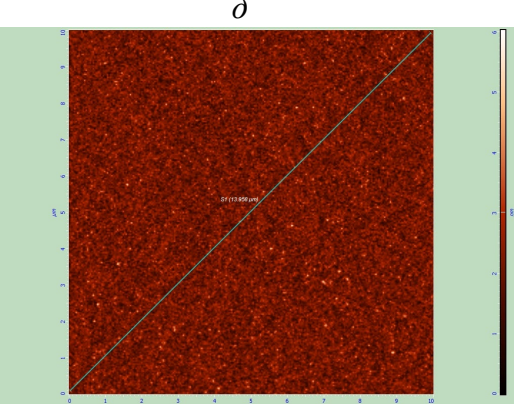


Рис. П6. ACM изображения поверхности (*а, в, д, жс, и*) и профили (*б, г, е, з, к*) покрытий х-Sc-TiO₂ на стеклянных подложках с различным содержанием легирующих элементов: 0.2 ат.% (*а, б*), 0.4 ат.% (*в, г*), 0.6 ат.% (*д, е*), 0.8 ат.% (*жс, з*), 1.0 ат.% (*и, к*)

87



88

89
9091
9293
94 ∂C

3

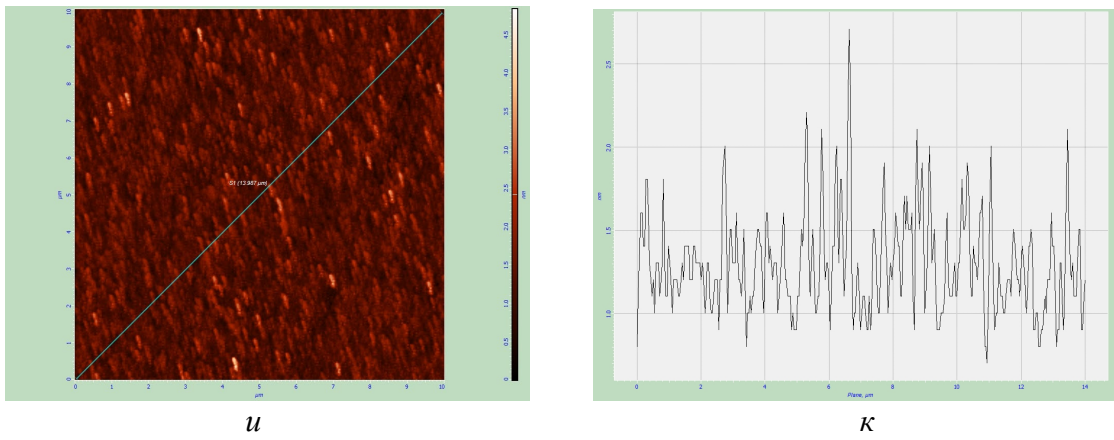
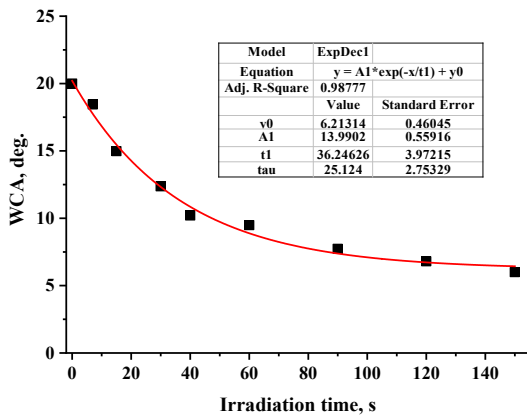
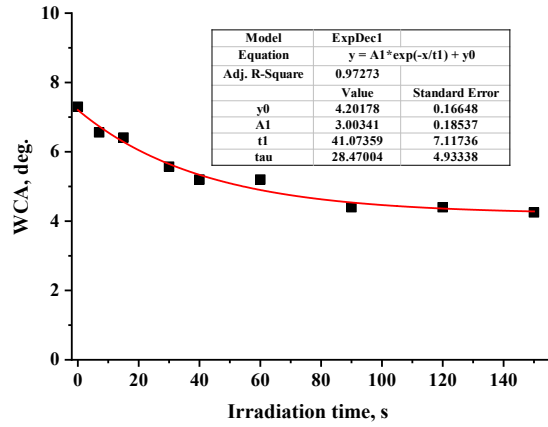


Рис. П17. АСМ изображения поверхности (*а, в, д, жс, и, л*) и профили (*б, г, е, з, к, м*) покрытий $x\text{-Al-TiO}_2$ на стеклянных подложках с различным содержанием легирующих элементов: 0.2 ат.% (*а, б*), 0.4 ат.% (*в, г*), 0.6 ат.% (*д, е*), 0.8 ат.% (*жс, з*), 1.0 ат.% (*и, к*)

100



101



102

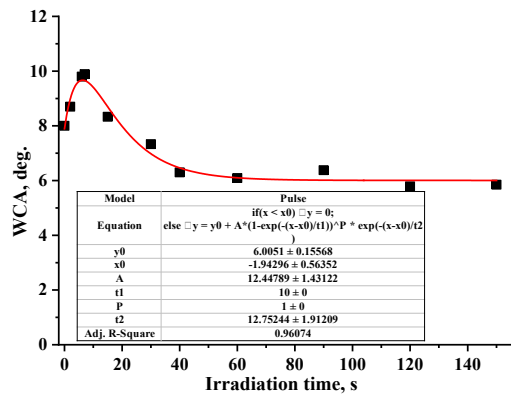
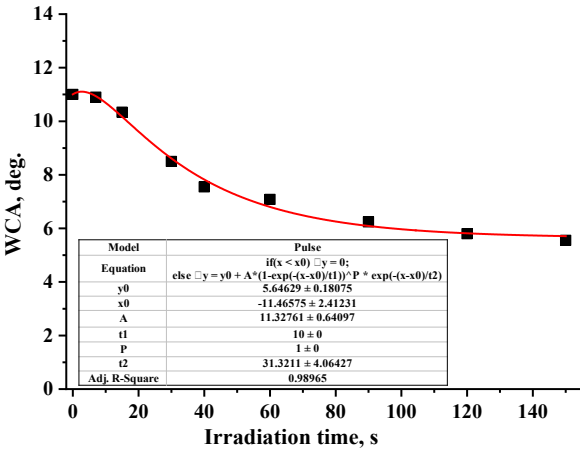
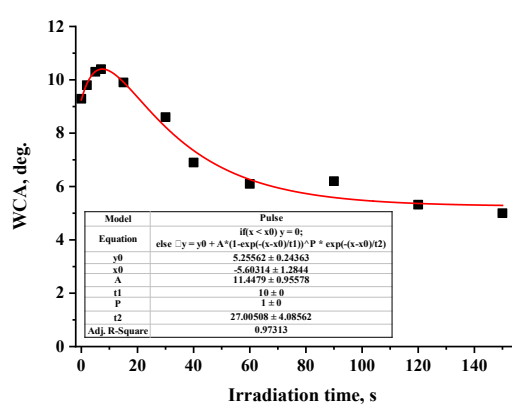
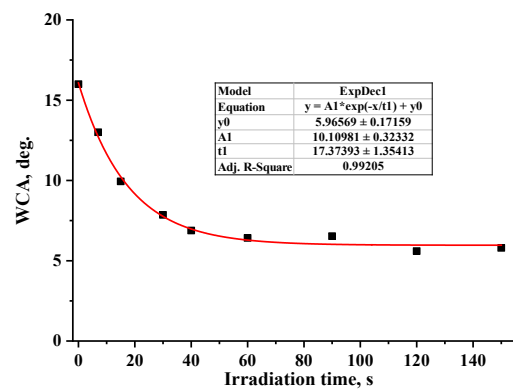
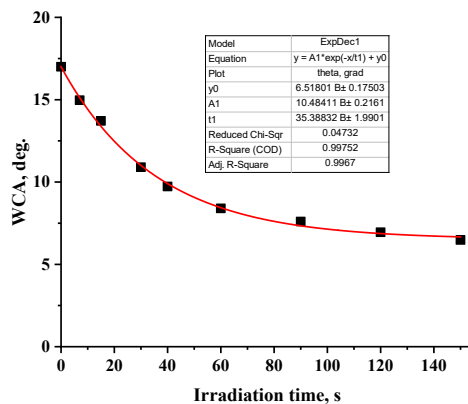
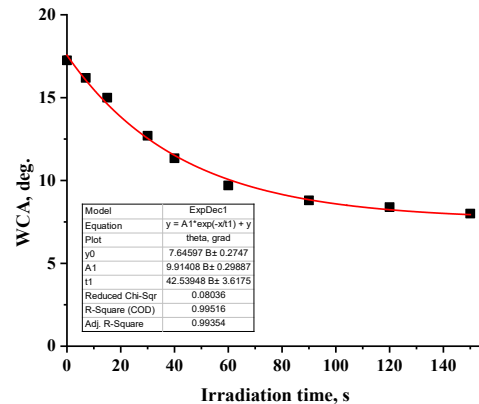
a103
104*b*105
106*d*107
108
109
110
111
112*e*

Рис. П8. Результаты аппроксимации тензиометрических данных по фотоиндуцированному изменению контактного угла воды с поверхностью покрытий x-Nb-TiO₂ с различным содержанием донорта: (a) 0.0 ат.%, (б) 0.2 ат.%, (в) 0.4 ат.%, (г) 0.6 ат.%, (д) 0.8 ат.%, (е) 1.0 ат.%

113
114

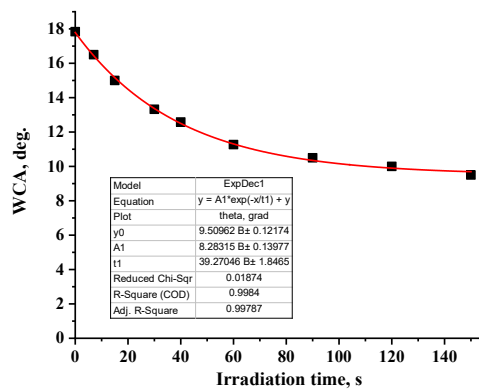


a

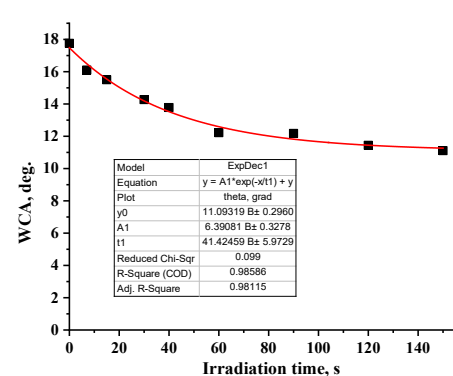


b

115
116



c



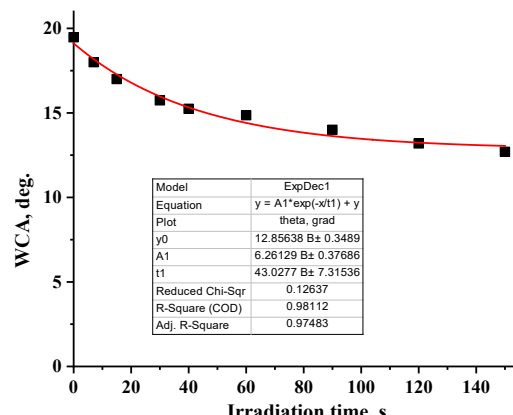
d

117
118

119 Рис. П9. Результаты аппроксимации тензиометрических данных по
120 фотоиндуцированному изменению контактного угла воды с поверхностью покрытий x-Sc-
121 TiO₂ с различным содержанием допанта: (а) 0.2 ат.%, (б) 0.4 ат.%, (в) 0.6 ат.%, (г) 0.8 ат.%,
122 (д) 1.0 ат.%

123

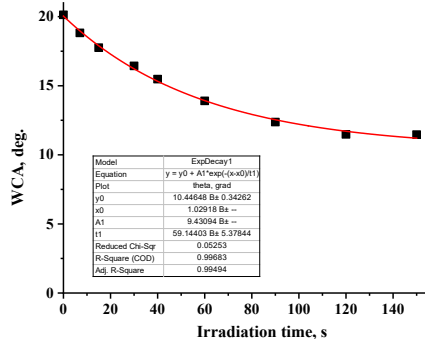
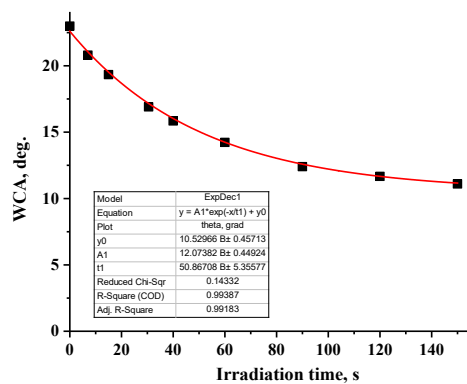
124



e

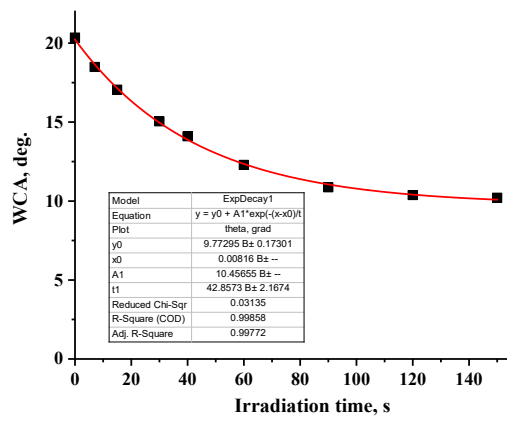
125

126

a*b*

127

128

c*c*

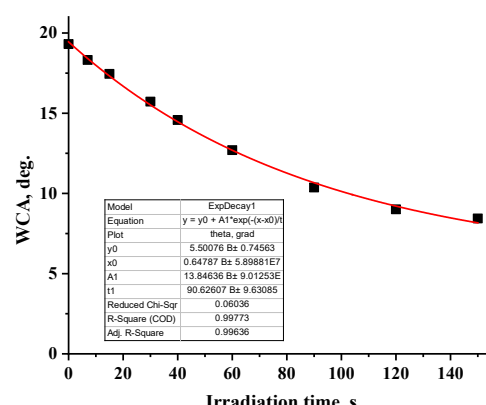
129

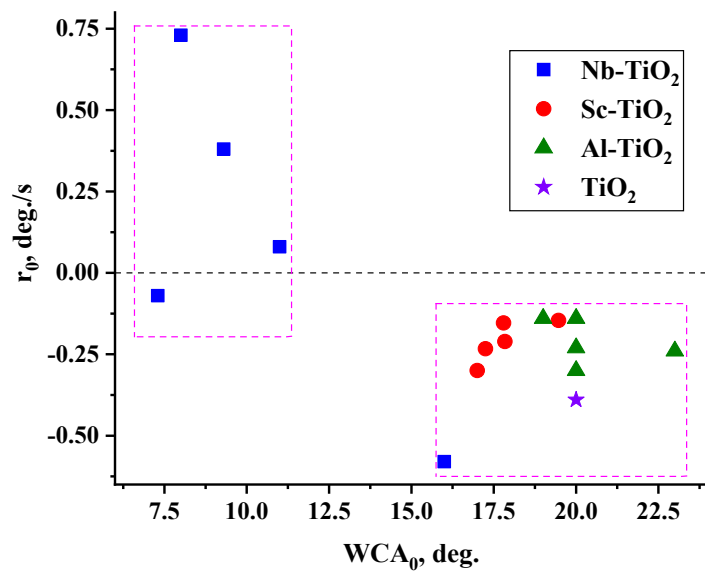
130

131 Рис. П10. Результаты аппроксимации тензиометрических данных по
132 фотоиндуцированному изменению контактного угла воды с поверхностью покрытий x-Al-
133 TiO₂ с различным содержанием донанта: (а) 0.2 ат.%, (б) 0.4 ат.%, (в) 0.6 ат.%, (г) 0.8 ат.%,
134 (д) 1.0 ат.%

135

136

*d*



137

138 **Рис. П11.** Корреляция значений начальных контактных углов воды с поверхностью
 139 (WCA₀) и начальной скоростью процесса фотоиндуцированного изменения угла
 140 смачивания (r₀) для покрытия TiO₂ (фиолетовая звездочка) и серий покрытий x-Nb-TiO₂
 141 (синие квадратики), x-Sc-TiO₂ (красные кружочки) и x-Al-TiO₂ (зеленые треугольники).
 142 Штриховыми прямоугольниками выделены две различающихся группы данных